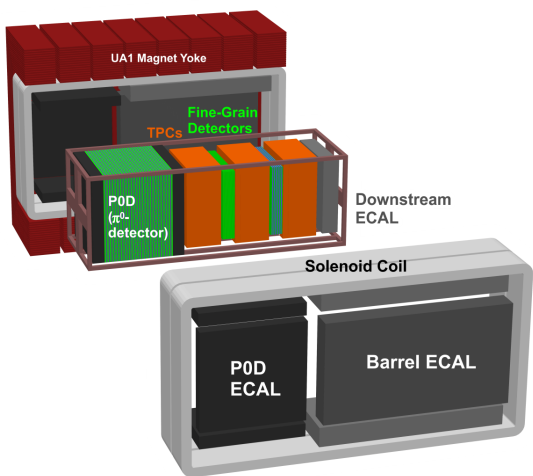
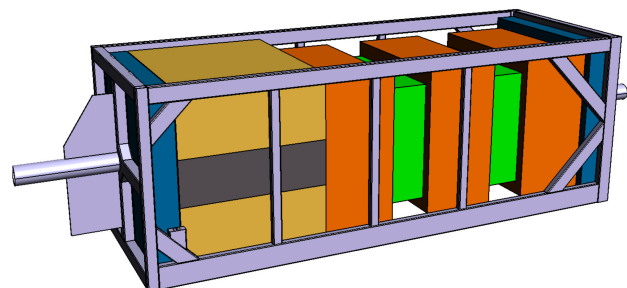


T2K第二フェーズに向けた ND280前置検出器アップグレードの概要

岩本康之介

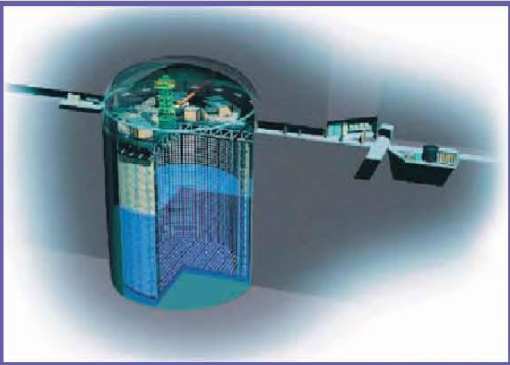
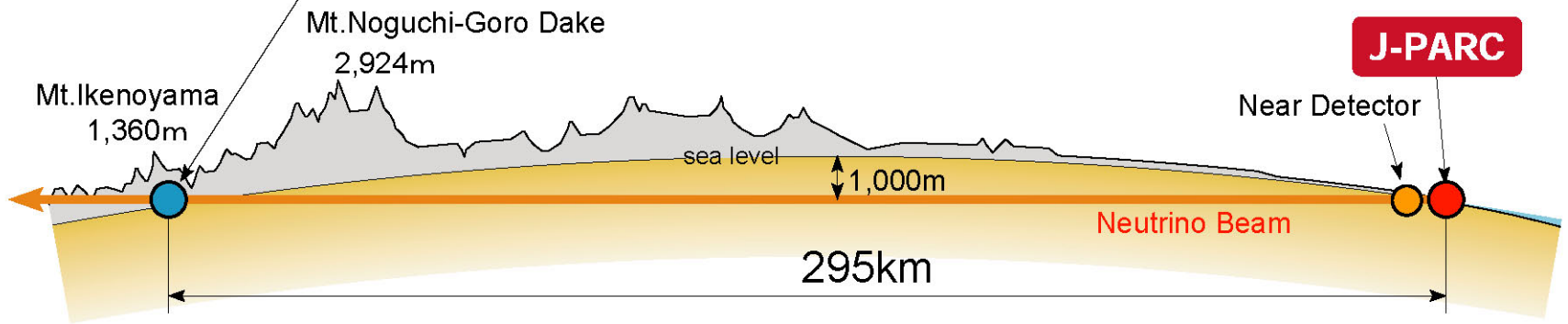
東京大学

2018年2月19日



T2K実験

Super-Kamiokande



Super-Kamiokande
(ICRR, Univ. Tokyo)

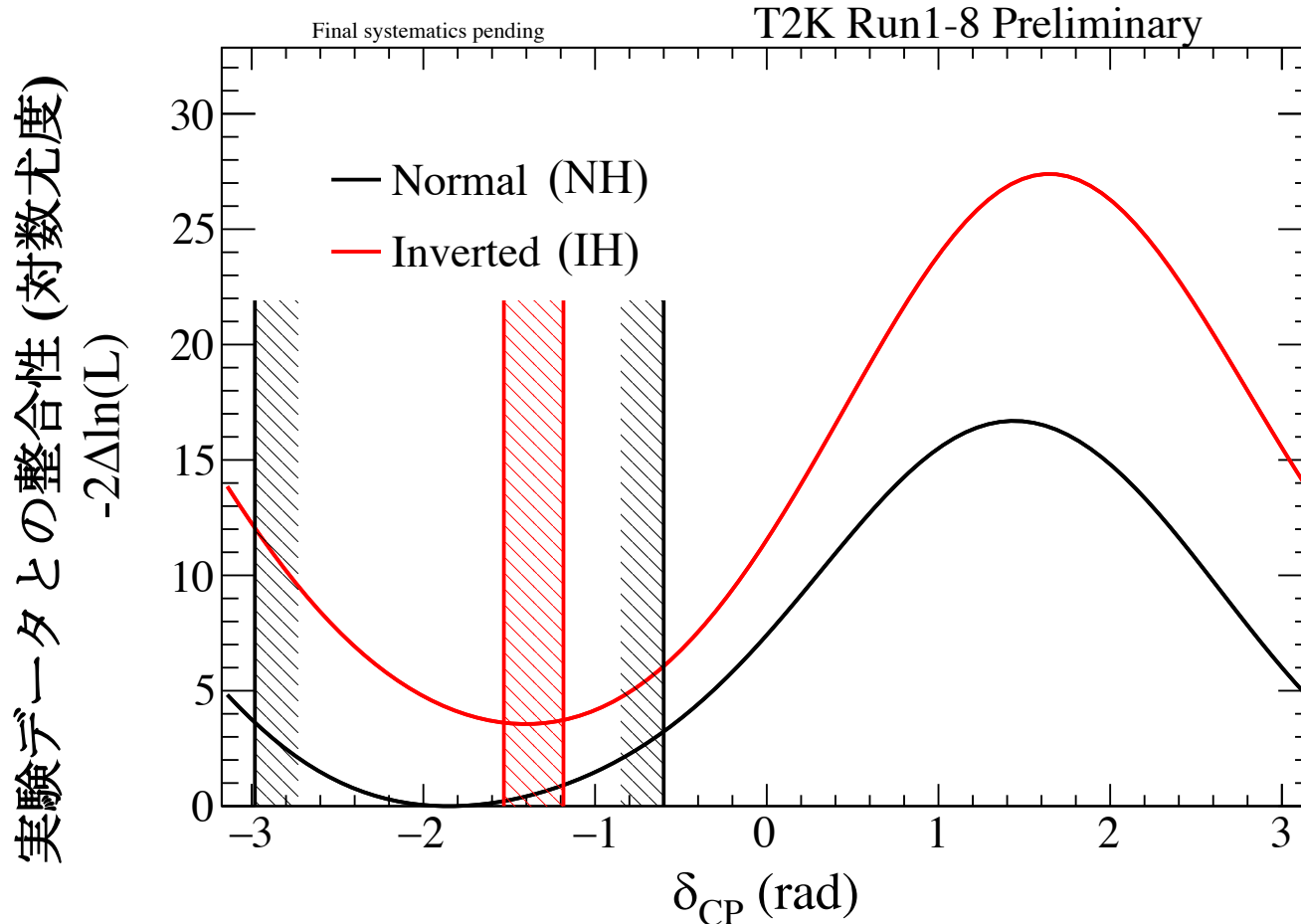


J-PARC Main Ring
(KEK-JAEA, Tokai)



2017年8月4日

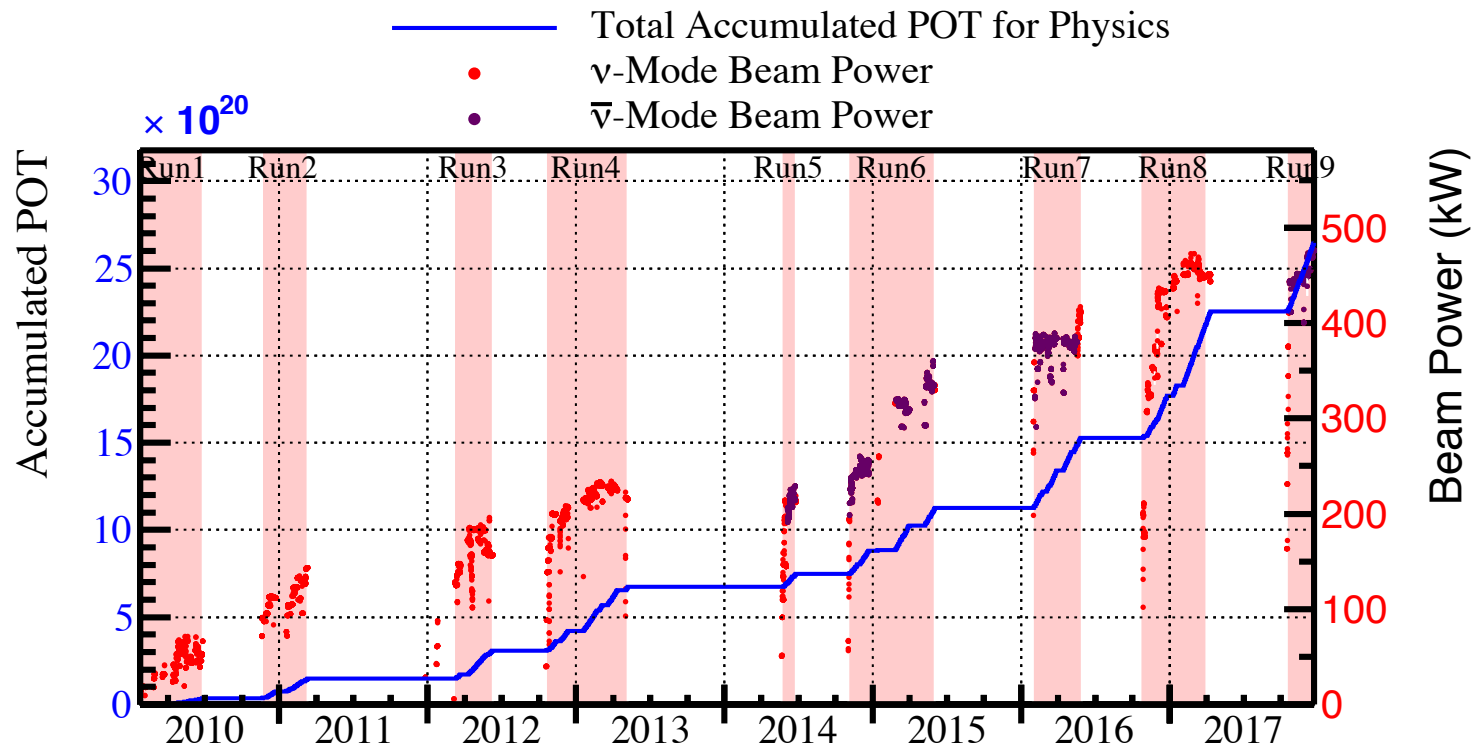
ニュートリノの「CP対称性の破れ」、可能性さらに高まる



$$\delta_{cp} = [-2.981, -0.600](NH), [-1.531, -1.184](IH) \text{ at } 2\sigma \text{ CL}$$

T2K実験は「CP対称性の破れがない」ことを信頼度 (確率) 95%で棄却

これまでのT2K (2018年2月19日現在)



ビームパワーと取得した観測実験データ

23 Jan. 2010 - 22 Dec. 2017

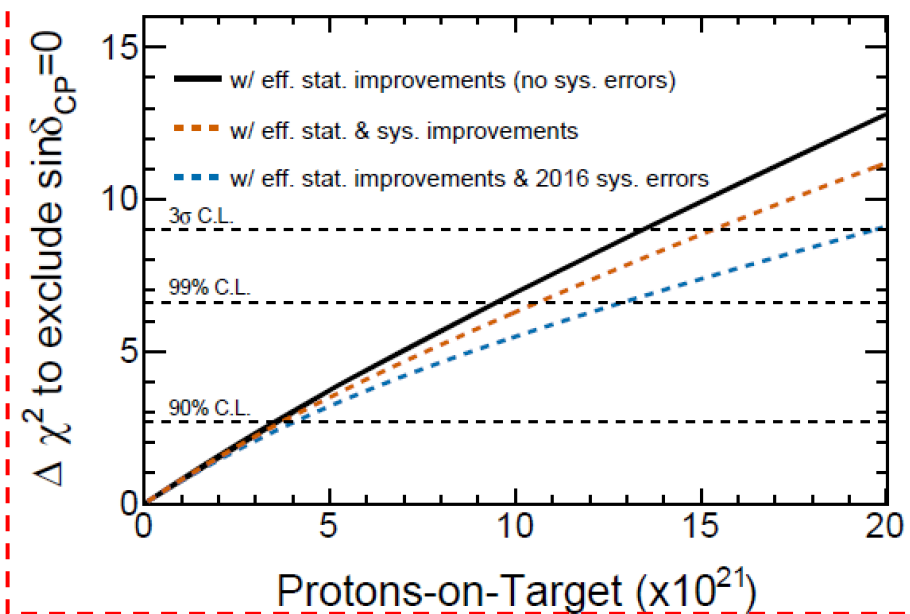
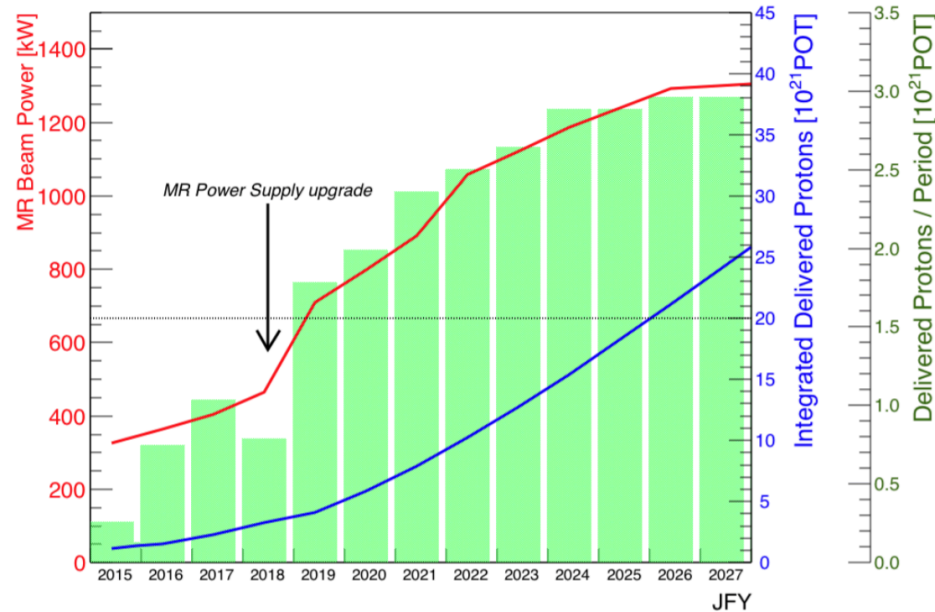
POT total: 2.65×10^{21}

ν -mode 1.51×10^{21} (57.14%)

$\bar{\nu}$ -mode 1.14×10^{21} (42.86%)

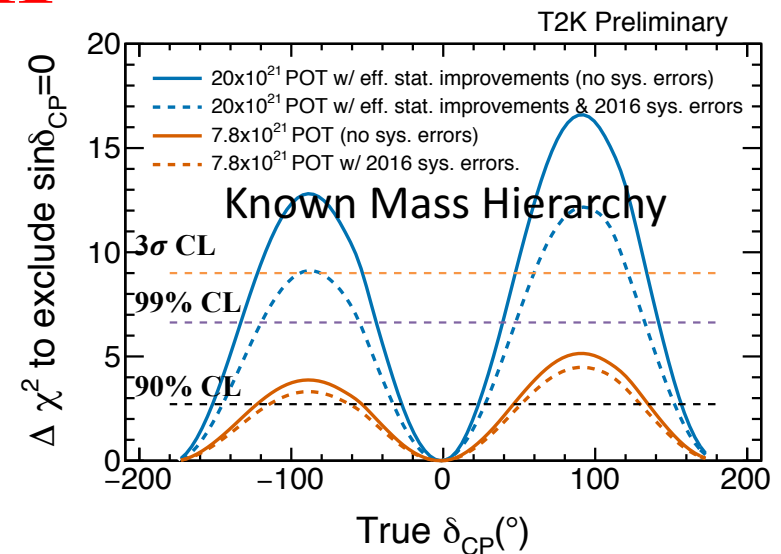
- ニュートリノの統計は2016-2017の一年間で倍になった
- 反ニュートリノの統計は2018年夏の終わりに倍になると予想
 - 2017年12月22日にはその目標の半分に到達

これからのT2K (2021年~2026年)



T2K-II

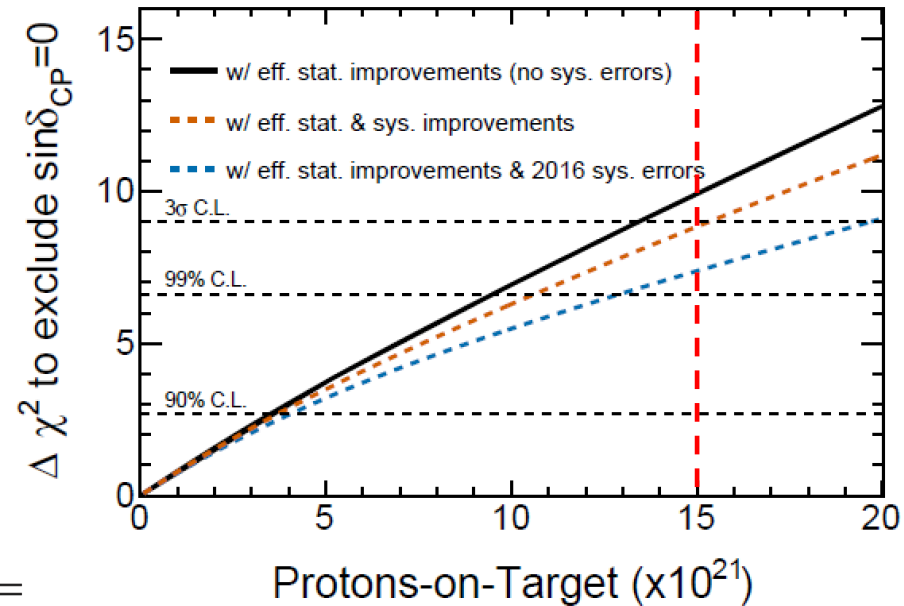
- ビームパワーの増強 (**0.46 MW→1.3 MW**)
- 2026年までに 20×10^{21} POT の統計を収集する計画
- 高統計と **系統誤差の抑制** により, $> 3\sigma$ の感度でCP対称性保存の破却



これからのT2K (2021年~2026年)

T2K-IIに向けた系統誤差の抑制:

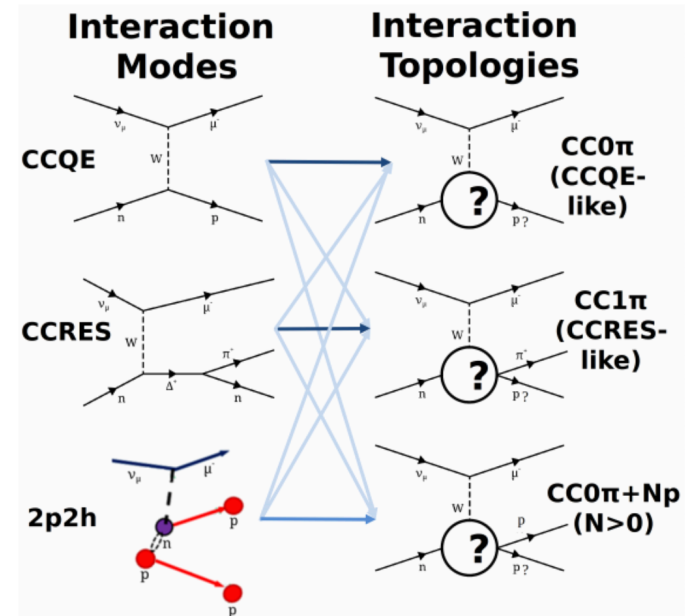
- 外部実験によるフラックスへの理解 (eg. NA61/SHINE 等)
- 検出器からくる不定性
- ニュートリノ反応による不定性



Source (%)	ν_μ	ν_e	$\bar{\nu}_\mu$	$\bar{\nu}_e$
ND280-unconstrained cross section	0.7	3.0	0.8	3.3
Flux and ND280-constrained cross section	2.8	2.9	3.3	3.2
Super-Kamiokande detector systematics	3.9	2.4	3.3	3.1
Final or secondary hadron interactions	1.5	2.5	2.1	2.5
Total	5.0	5.4	5.2	6.2

→系統誤差を~6%から~4%まで抑えることが目標

→ND280前置検出器アップグレードの計画



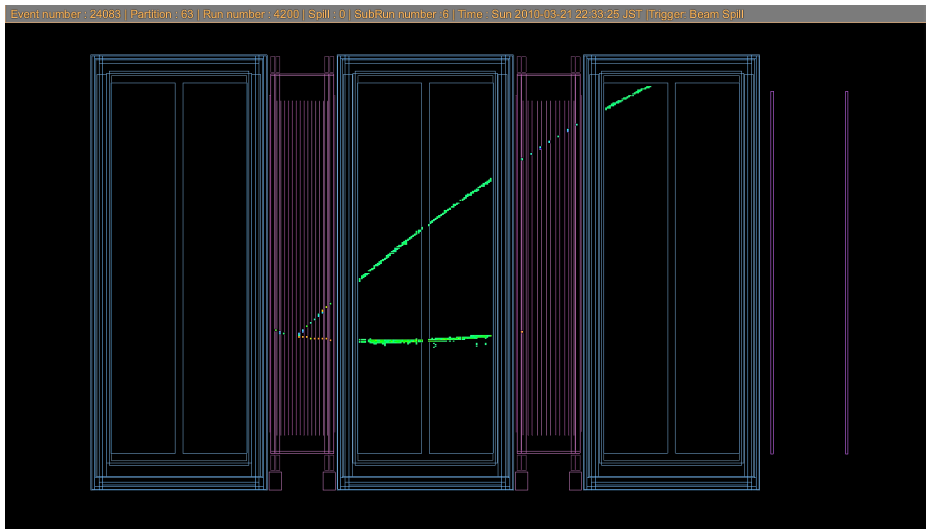
ND280 Measurements

- 振動前のニュートリノ反応を測定するための前置検出器
 - TPCとXYの層構造のプラスチックシンチレータ(FGD)による荷電粒子の運動量,方向を測定
 - T2Kのフラックス由来のニュートリノの反応断面積を測定
 - SKでのニュートリノフラックスと反応断面積の理論モデルに制限をかける

TPC1

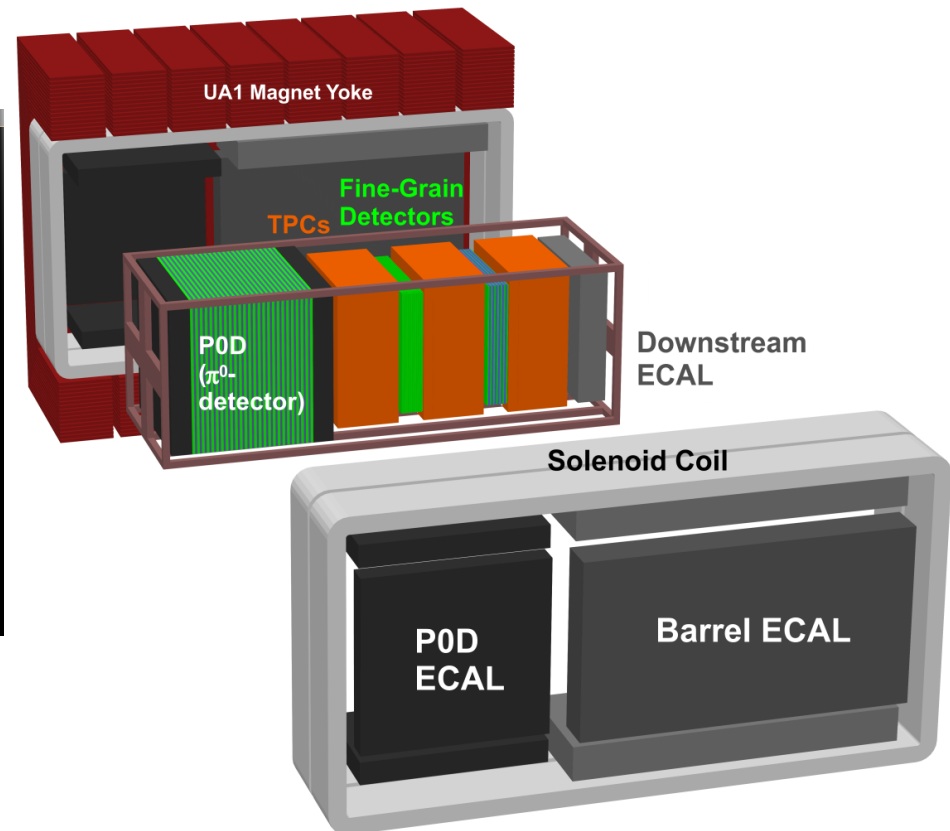
TPC2

TPC3



FGD1

FGD2



Goals of ND280 Upgrade (1)

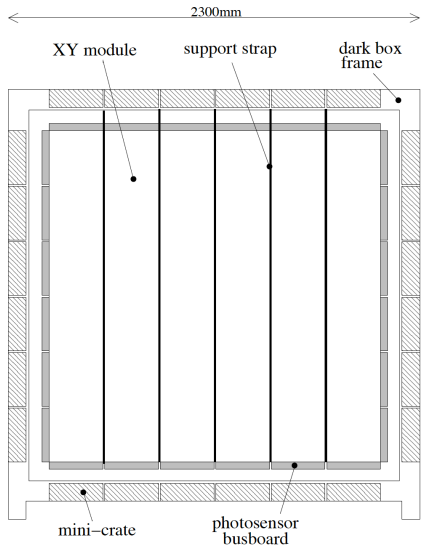
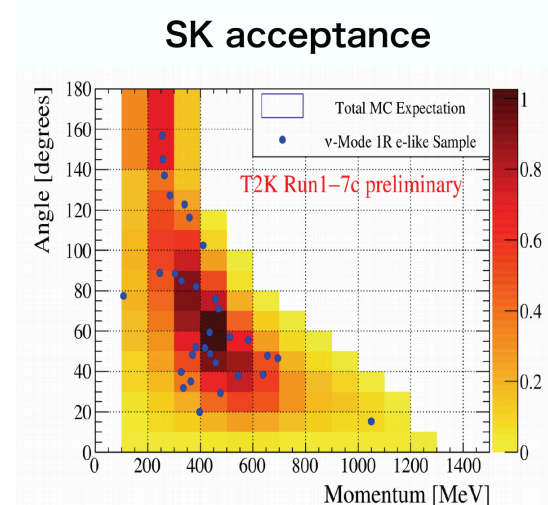
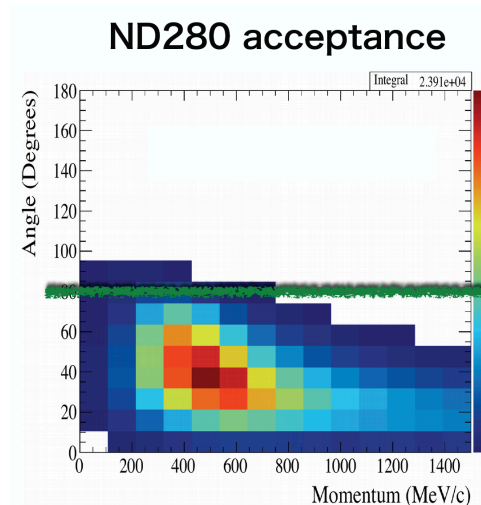
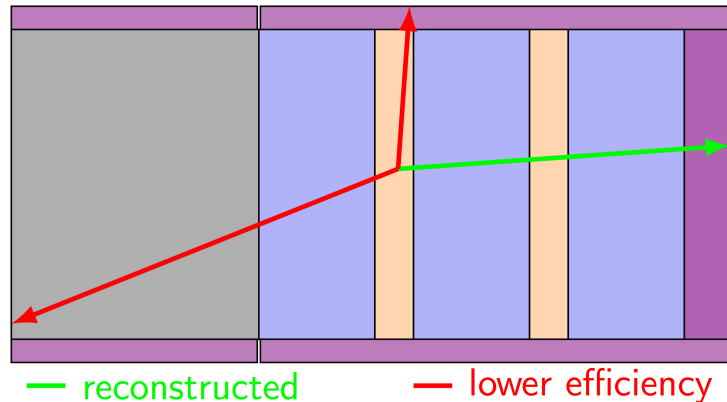


Figure 2: Cross-sectional view of an FGD, showing the locations of the scintillator modules, photosensors, support straps, electronics minicrates, and dark box.

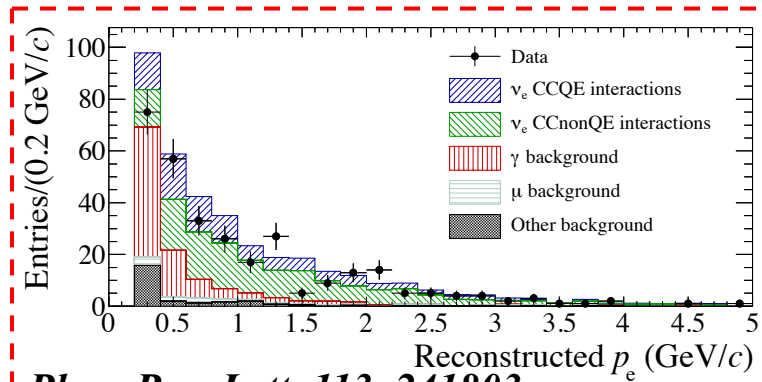
- 4π に対するアクセプタンス
 - 現在のND280は前方に対する高いアクセプタンスがある
 - VerticalやBackward trackにはEfficiencyが低い
 - SK同様に 4π に対して一様なアクセプタンスがあれば,より広い位相で反応断面積モデルに制限をかけられる

arXiv:1204.3666

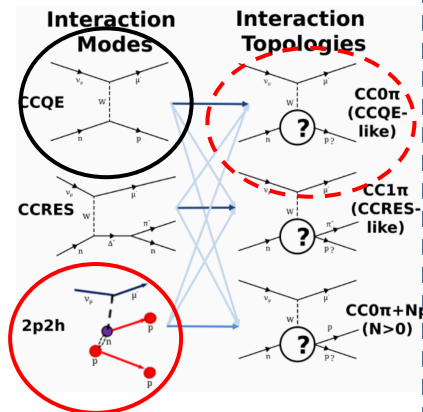
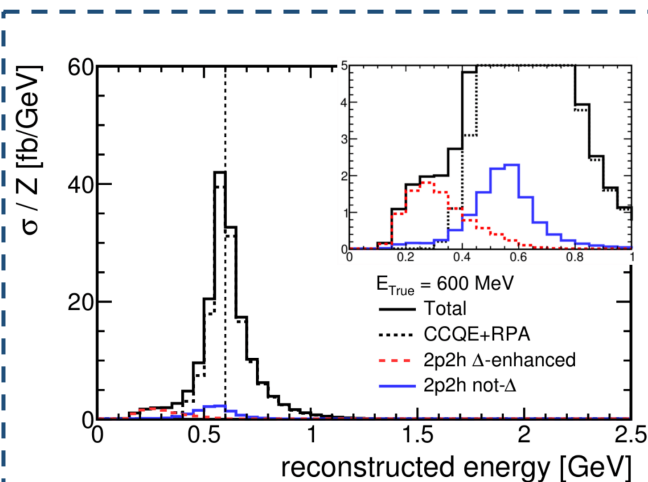
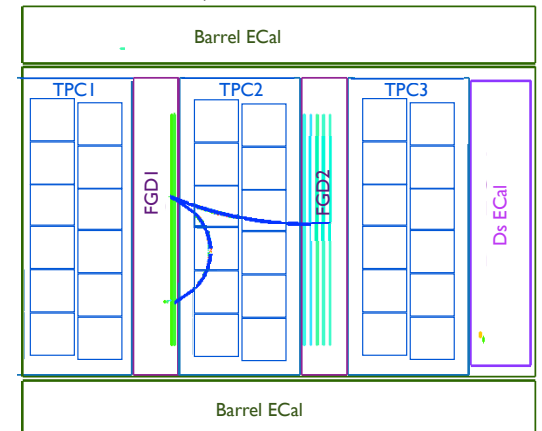


Goals of ND280 Upgrade (2)

- 低い運動量を持つ荷電粒子の測定
 - CCQEと2p2hの識別
 - T2Kのエネルギー再構成に対するバイアス
 - ν_e 由来と γ 由来の事象の識別
 - NDでの ν_e CC事象選択の約23%が γ 由来の背景事象
- より高いグラニュラリティを持つ検出器で短いトラックの測定

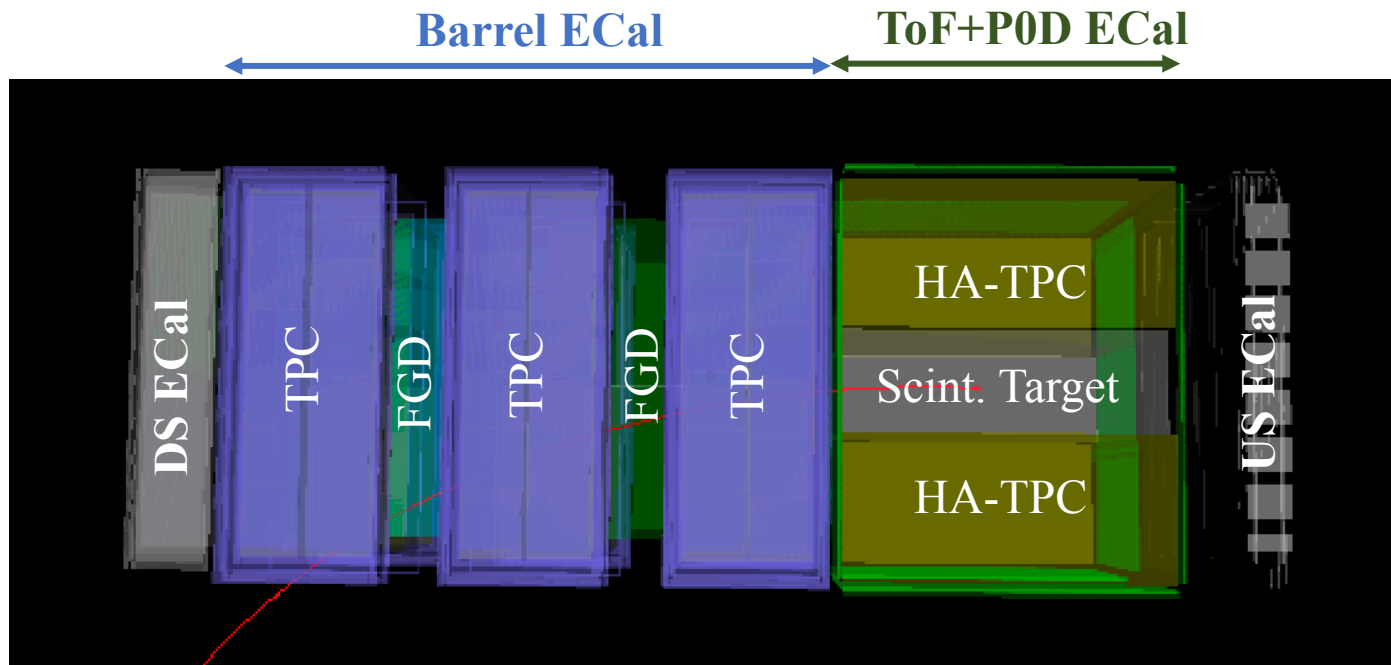


Phys. Rev. Lett. 113, 241803

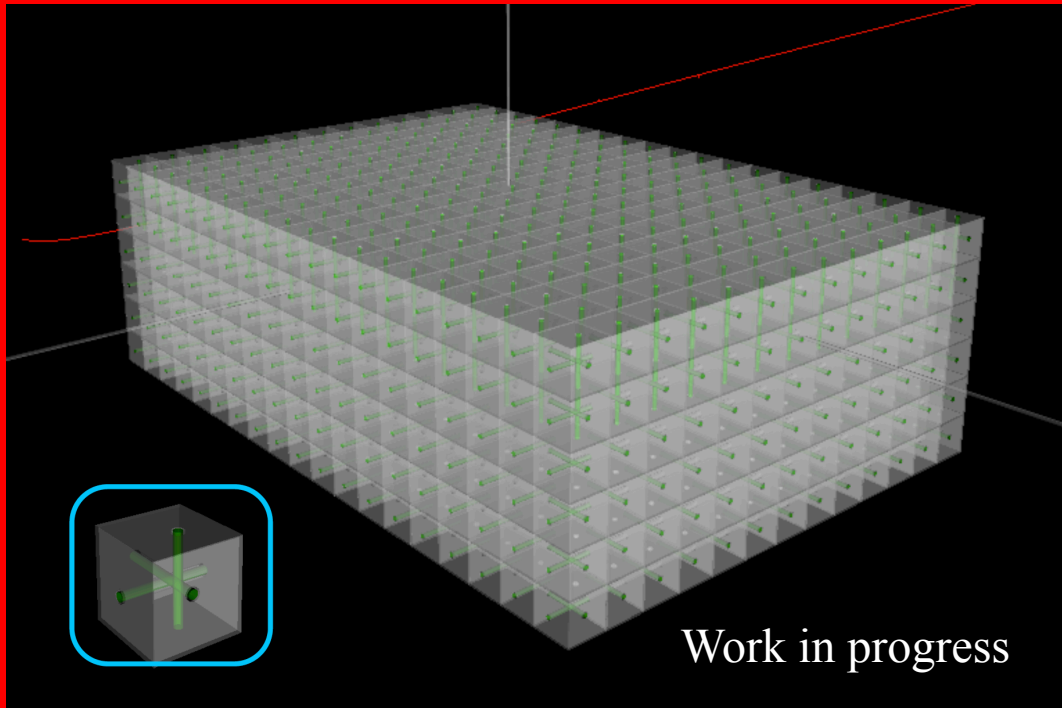


ND280 Upgrade

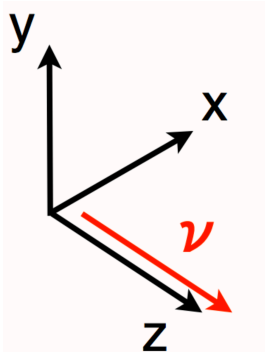
- 現在のトラッカー(TPC+FGD)はそのまま
- 上流に新しいトラッカーを実装する計画
 - **2 High-Angle TPCs (HA-TPCs)**
 - **より Fine-Grainedなシンチレータ検出器**
 - 新しいトラッカーの囲うように
Time-of-Flight (ToF) counterを設置



SuperFGD



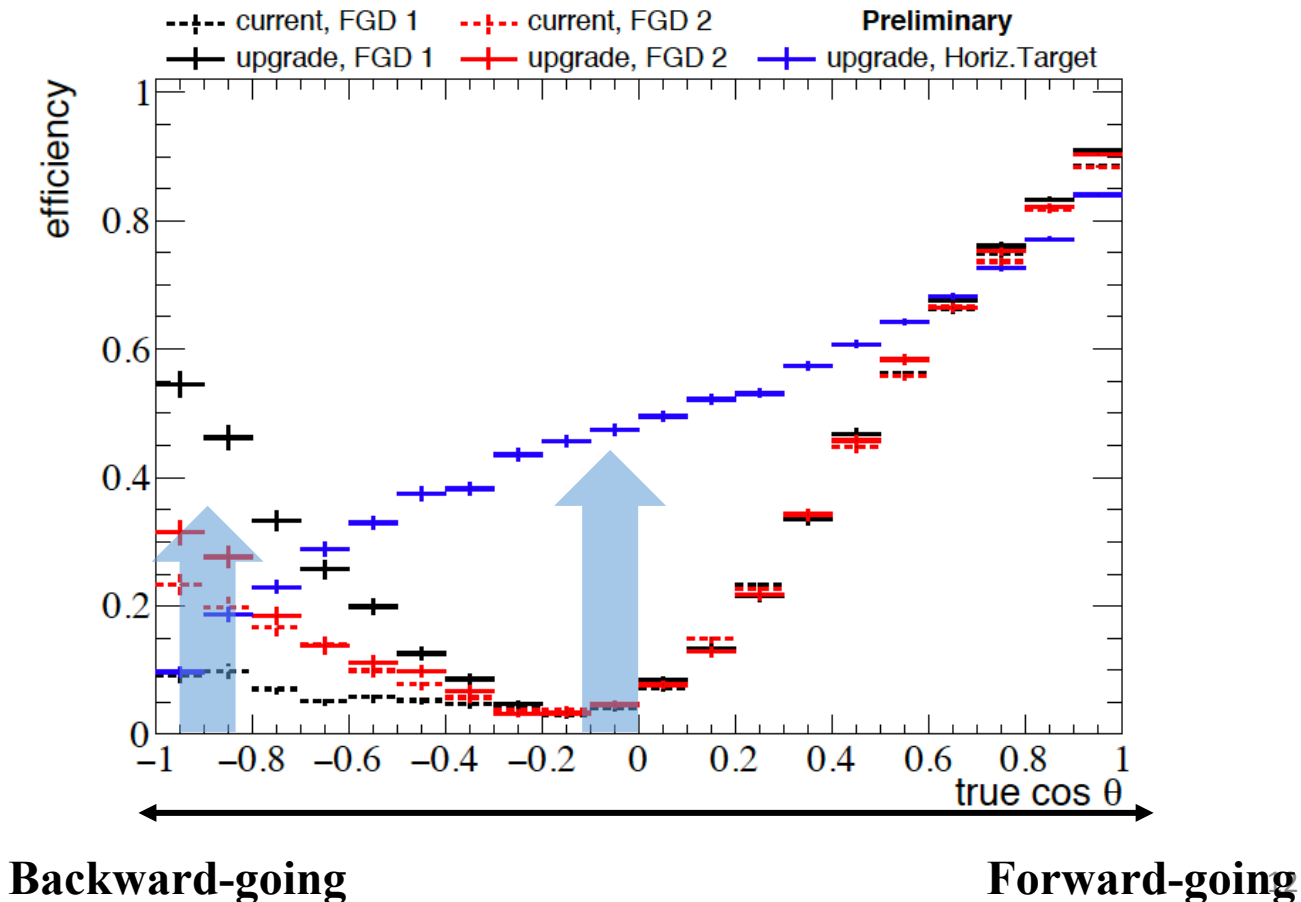
Parameter	Cube edge: 1 cm
# of cubes	2,160,000
# of channels	58,800
Total fiber length	65 km



- 体積: $1.8 \times 0.6 \times 2.0 \text{ m}^3$
- 体積 $1 \times 1 \times 1 \text{ cm}^3$ のシンチレータキューブによって構成
 - 反射材によるコーティング
- 各キューブに3本の波長変換ファイバーをXYZの方向に通し, MPPCで三次元の光量を測定

Wide Angle Acceptance

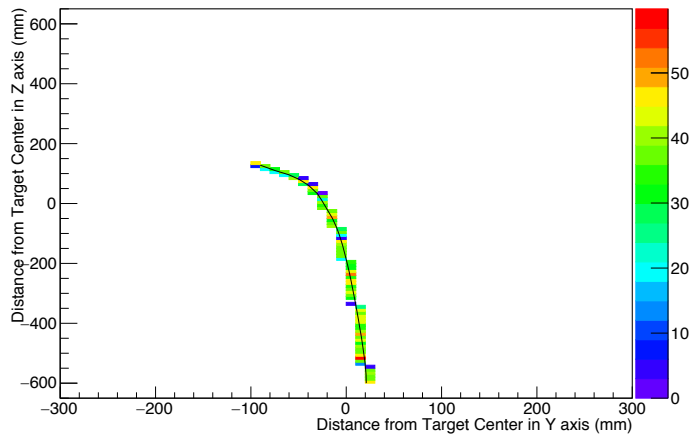
- T2Kのフラックスを考慮した ν_μ シミュレーション(1×10^{21} POT)による性能評価
- 従来のND280同様の各TPCによる事象選択を行い,そのEfficiencyを比較
- 新しいHA-TPCとシンチレータ検出器によってEfficiencyが向上



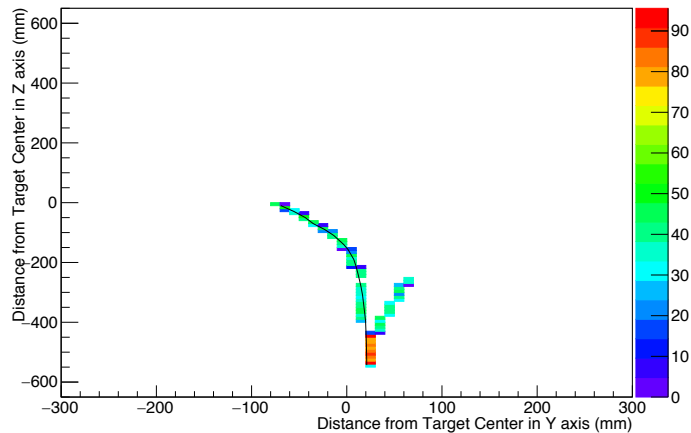
High Granularity

- Hit情報を用いて3方向からのイベントディスプレイを作成
- SuperFGD内での事象選択のアルゴリズムを製作中
 - Vertex近傍の単一キューブから見えるhit数で ν_e 由来と γ 由来の事象識別が可能？(1 MIP vs 2 MIP)

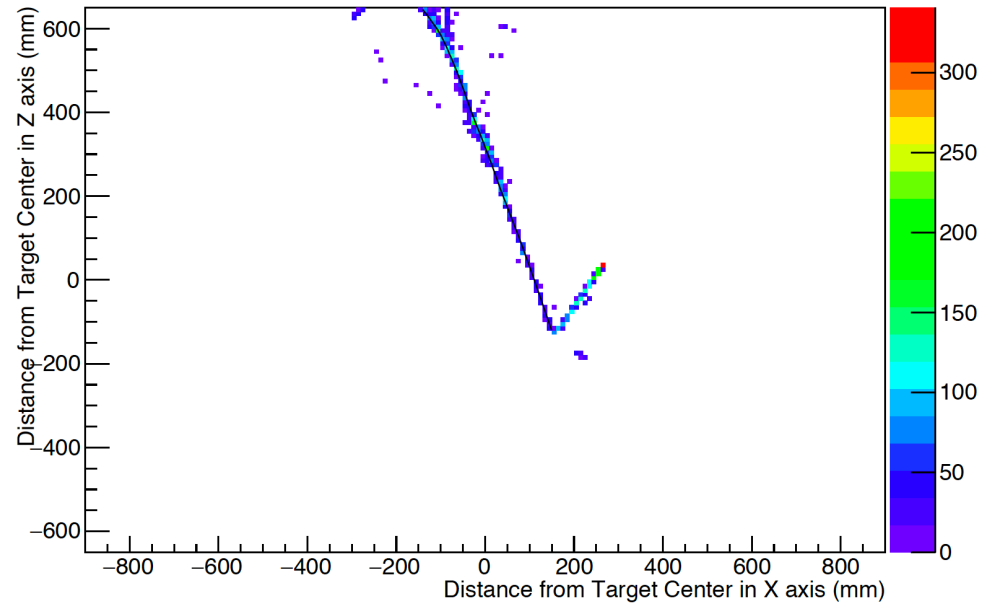
e



γ

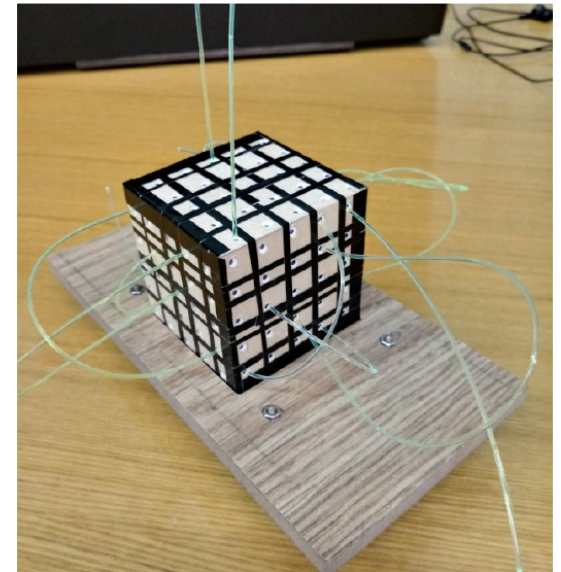
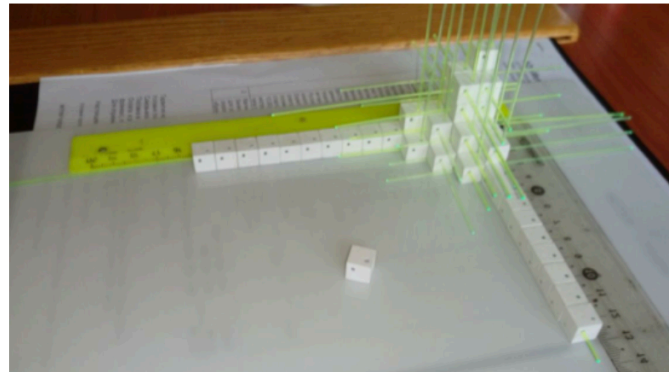
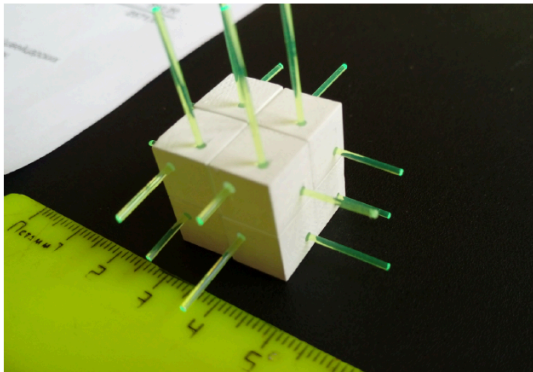


ν_e CCQE



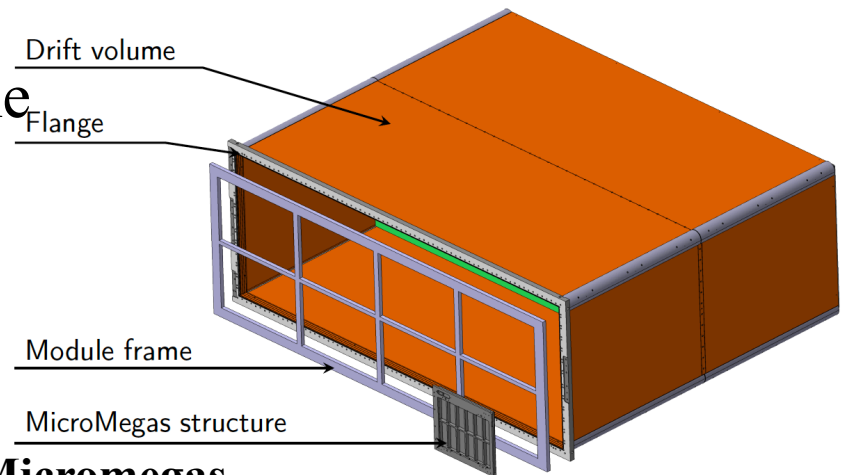
SuperFGD R&D

- ロシアINRによるキューブ($1 \times 1 \times 1 \text{ cm}^3$)の開発
- $5 \times 5 \times 5$ キューブのプロトタイプ検出器でCERNビームテストを行った(2017年10月)
 - Cross-talk, light yield, timing resolution
 - 現在解析中
- 日本で $4 \times 4 \times 6$ キューブのプロトタイプ検出器で宇宙線テスト中(東大藤田)
- 日本でも東北大学でビームテストを計画(KEK松原)
- アセンブリのStudyも進行中

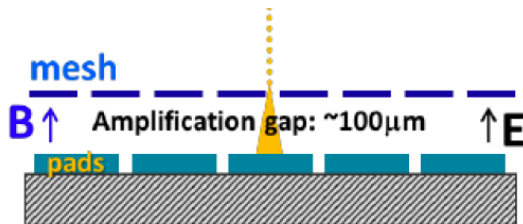


High-Angle TPC R&D

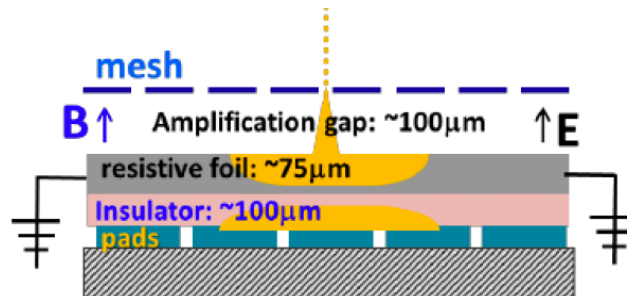
- 主にEUのグループが担当
- 現在のND280でのデザインを踏まえつつ,主に2つの変更:
 - Resistive Micromegas
 - Pads covered by resistive foil
 - Allows the charge detection for small drifts
 - Field Cage Design
 - Maximizing tracking volume for large angle track



Nominal Micromegas



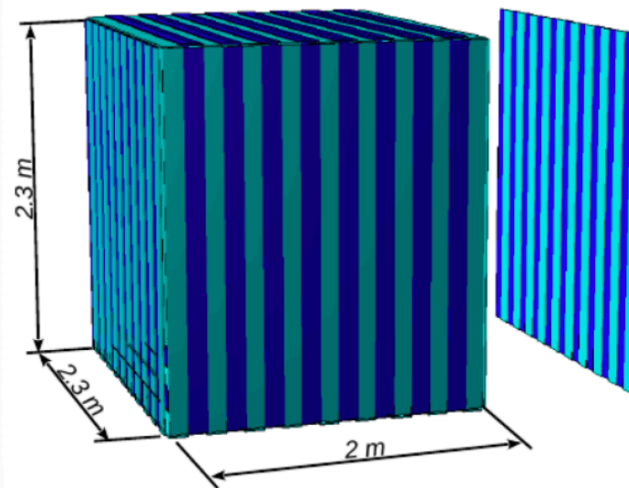
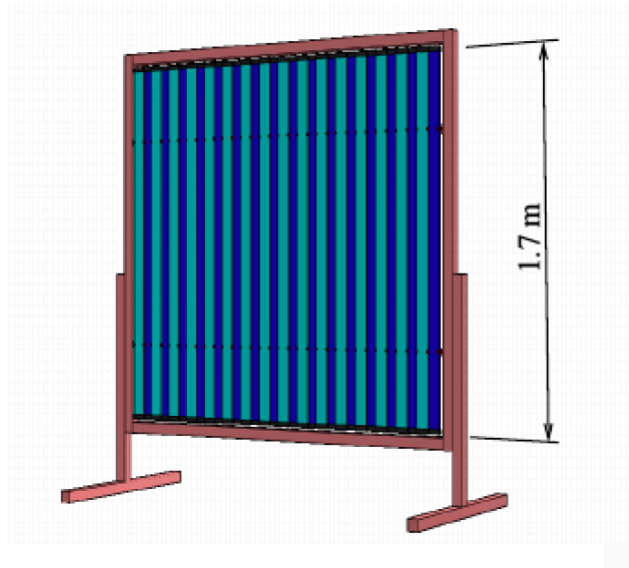
Resistive Micromegas




2.3 x 0.8 x 2.0 m³

Time-of-Flight Counter

- 荷電粒子のentering/exiting timeを測定
 - 検出器外部からの背景事象の識別
 - トラックの方向と粒子の識別(PID)の向上
- 新しいトラッカーを囲うように配置
- R&D with cast/extruded scintillator bars with SiPM/WLS fibers ongoing



ND280 Upgrade Project Timeline

- 2015 10月: ND280 Upgrade Task Force was launched
- 2017 1月: **Expression of Interest** submitted to SPSC@CERN (CERN-SPSC-EOI-015)
- 2017 2月: **T2Kの公式プロジェクトとして承認**
- 2018 1月: Proposal (SPSC@CERN & PAC@J-PARC)
-  2018: Technical Design Report, prototype
- 2019-2020: Production, Construction
- **2021: Installation, commissioning**

7 open workshops held so far:

# & Location	Date	URL
1 (CERN)	Nov 2016	https://indico.cern.ch/event/568177/
2 (CERN)	Mar 2017	https://indico.cern.ch/event/613107/
3 (Tokai)	May 2017	https://indico.cern.ch/event/633840/
4 (CERN)	Aug 2017	https://indico.cern.ch/event/644360/
5 (Tokai)	Oct 2017	https://indico.cern.ch/event/667631/
6 (CERN)	Nov 2017	https://indico.cern.ch/event/673242/
7 (Tokai)	Feb 2018	https://indico.cern.ch/event/698927/
8 (CERN)	Apr 2018	

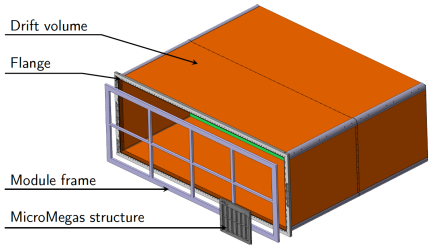
まとめ

• T2K-II

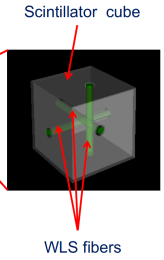
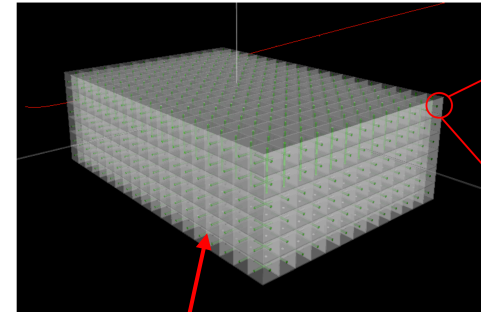
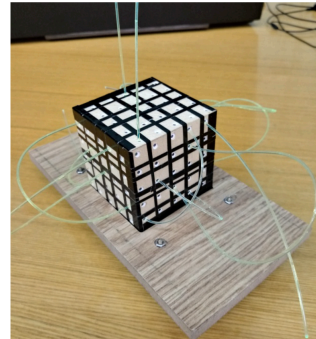
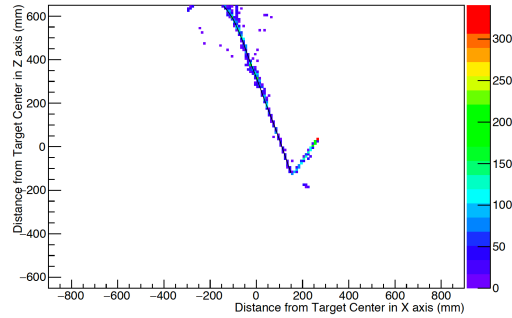
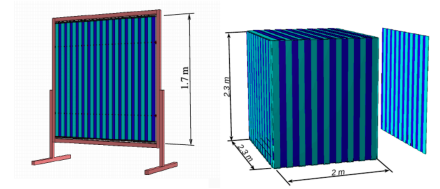
- 2026年までに 20×10^{21} POTの統計を収集する計画
- 高統計と系統誤差の抑制により, $> 3\sigma$ の感度でCP対称性保存の破却
- **ND280 Upgrade**でニュートリノ反応による系統誤差を抑える

• ND280 Upgrade

- 大角度に対するアクセプタンスと低い運動量をもつ荷電粒子の測定
- HA-TPC, SuperFGD, ToFによるトラックを実装する計画
- **R&D and simulation studies are ongoing!!**
- 2021のInstallationに向けて活動中

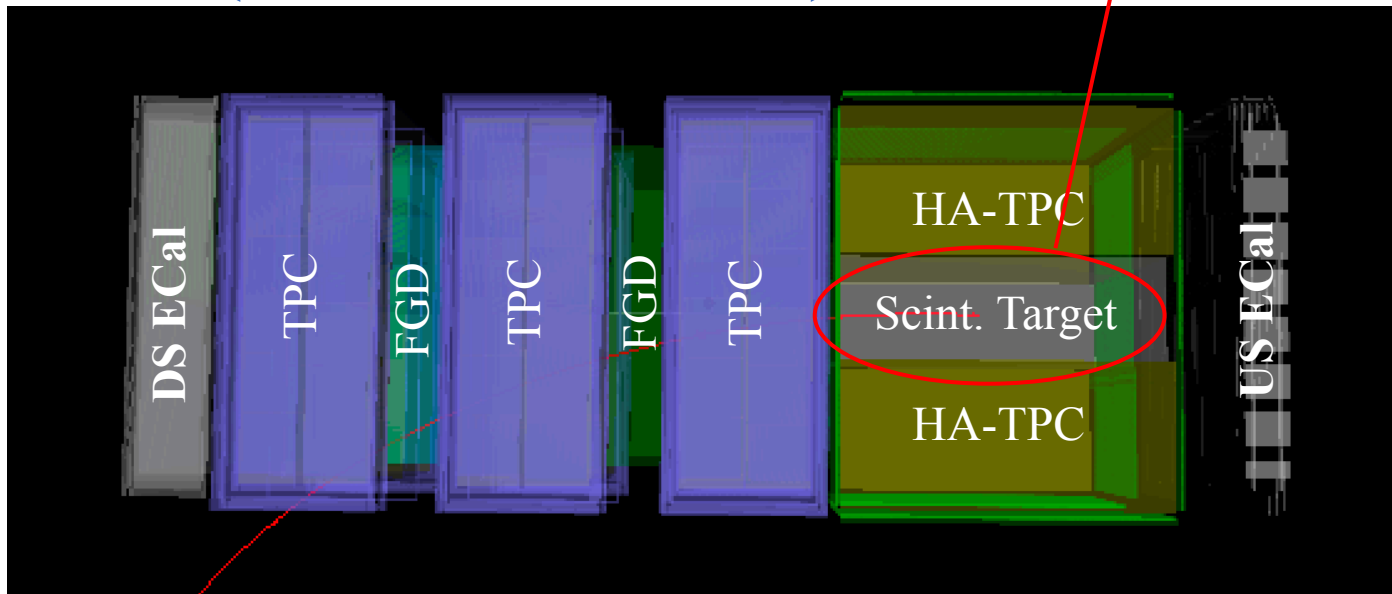


Thank you very much!!

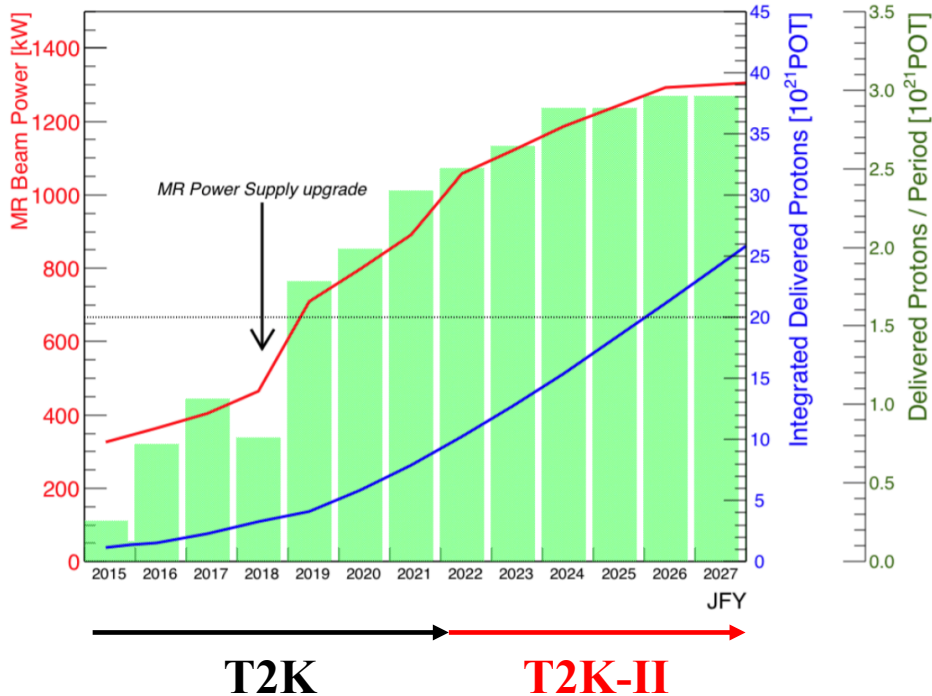


Barrel ECal

ToF+P0D ECal



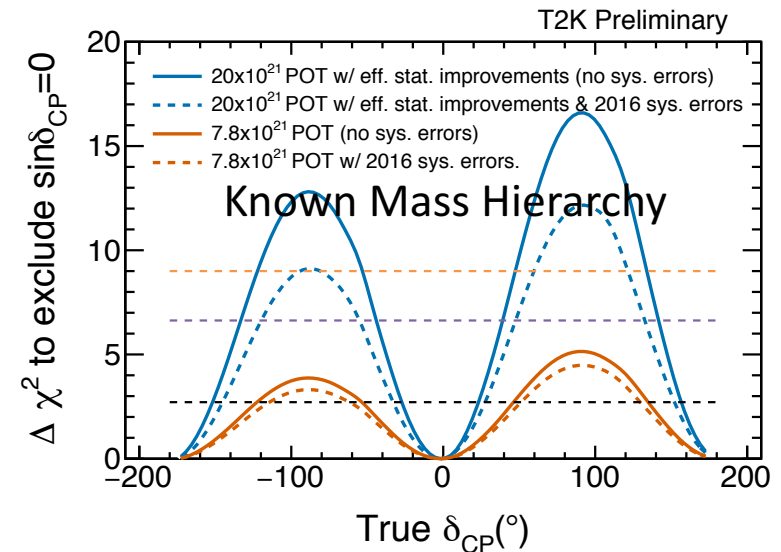
これからのT2K (2021年～2026年)



T2K-IIに向けたPOTあたりの統計増加:

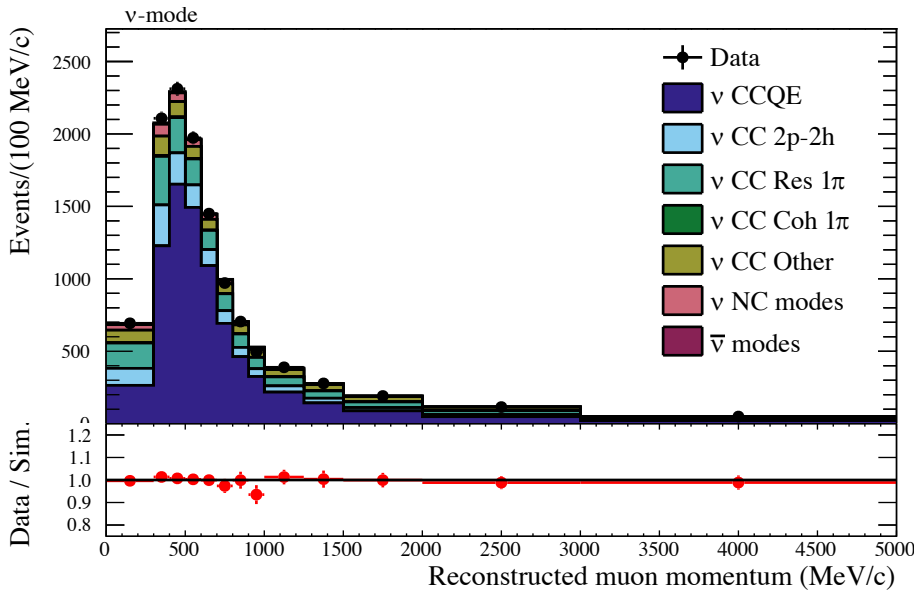
- ビームパワーの増強
(0.46 MW→1.3 MW)
- 電磁ホーンの電流強化
(250kA→320kA)
- 新しい解析サンプルの追加
(eg. ν_e CC1 π^+ サンプル)
- 解析ツールの向上による有効体積の拡大
($\nu_e/\bar{\nu}_e$ サンプルの統計が20/30 %増加)

- 2026年までに 20×10^{21} POTの統計を収集する計画
- **高統計**と系統誤差の抑制により,
> 3σ の感度でCP対称性保存の破却

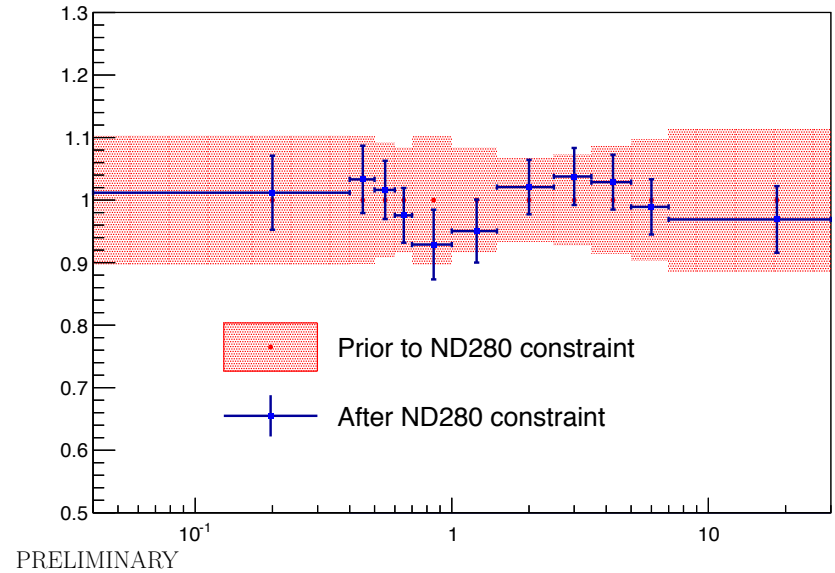


Near Detector Fit

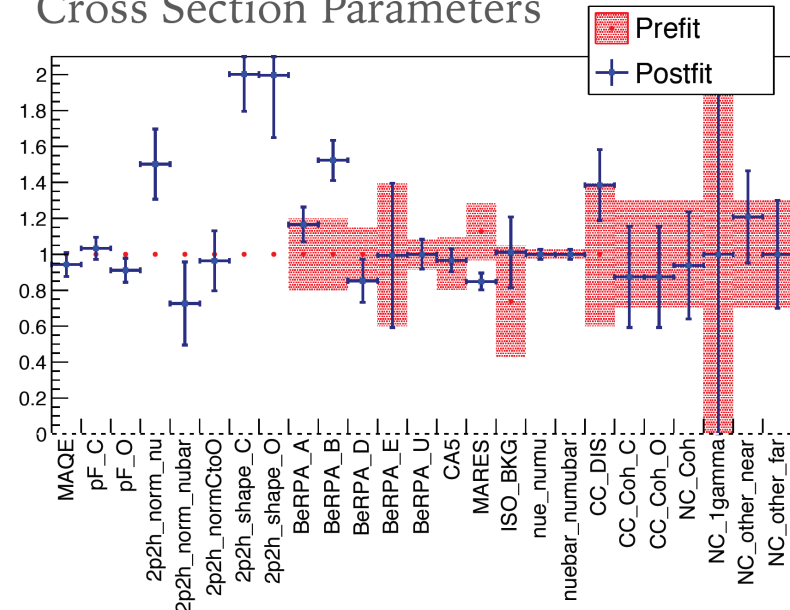
- ND280での測定を用いてフラックスと反応断面積モデルに制限をかける
 - データの分布に合わせてMCのparameterを調節
- Post fit parameterをSKでの測定を用いた振動解析に使う



SK FHC ν_μ Flux



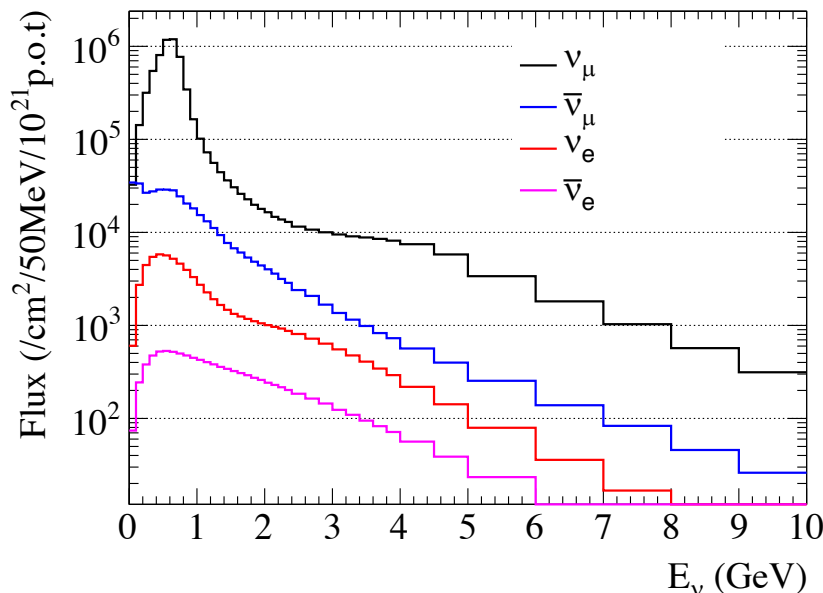
Cross Section Parameters



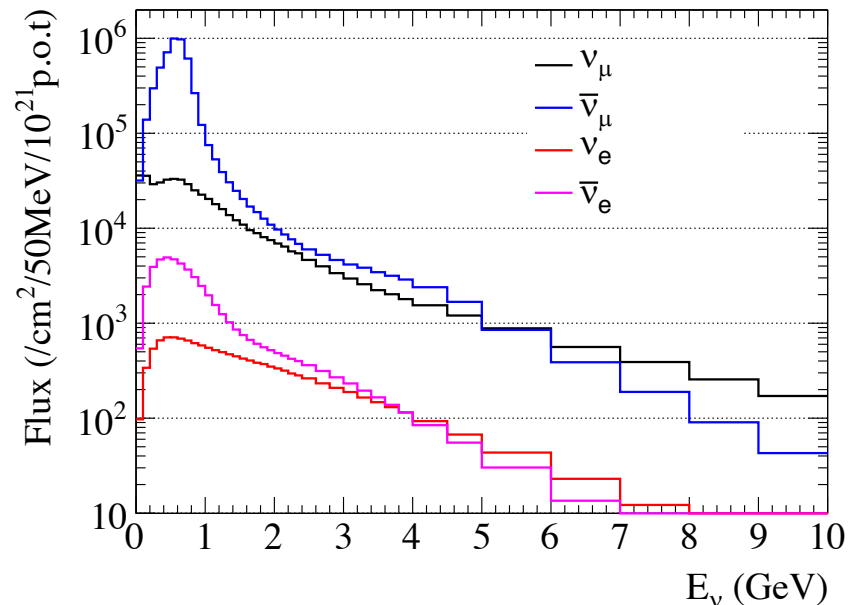
Intrinsic ν_e Beam Component in T2K Beam

- Consists 1.2% of the total $\nu(\bar{\nu})$ flux in T2K beam
 - Mainly produced from muon and kaon decays
- Major source of background to measure δ_{CP} through $\nu_\mu(\bar{\nu}_\mu) \rightarrow \nu_e(\bar{\nu}_e)$ appearance analysis

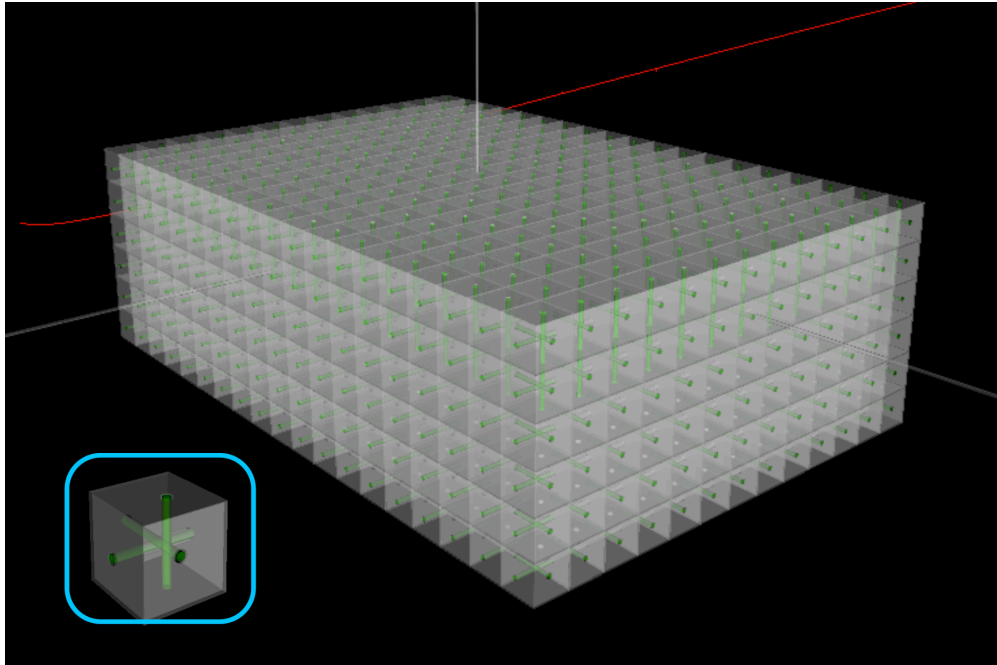
Neutrino Mode Flux at SK



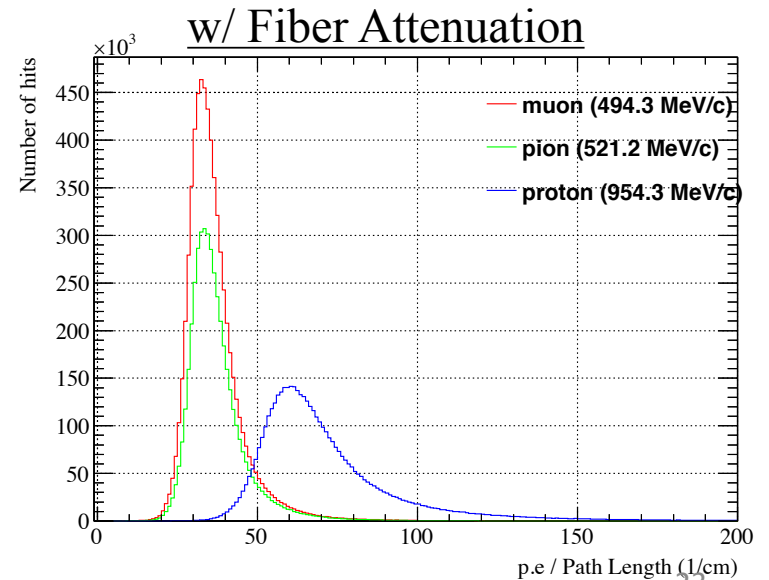
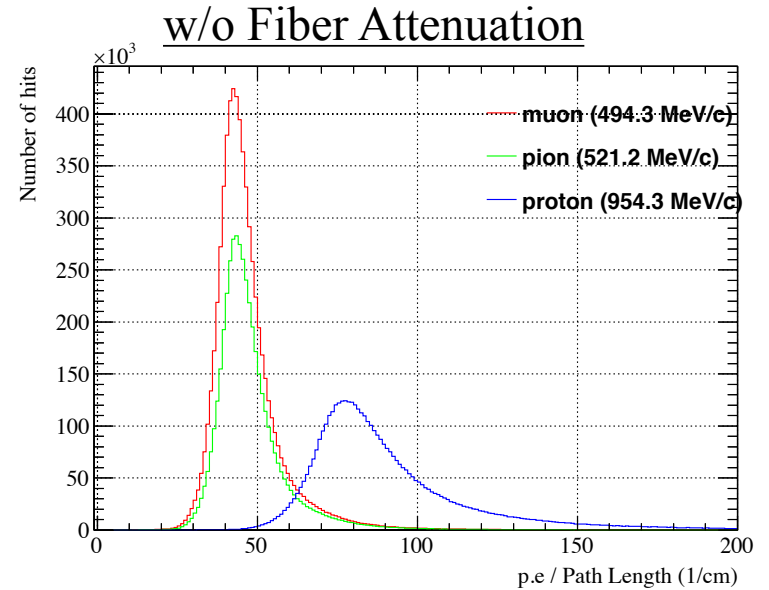
Antineutrino Mode Flux at SK



SuperFGD Target Validation: MIP Peak

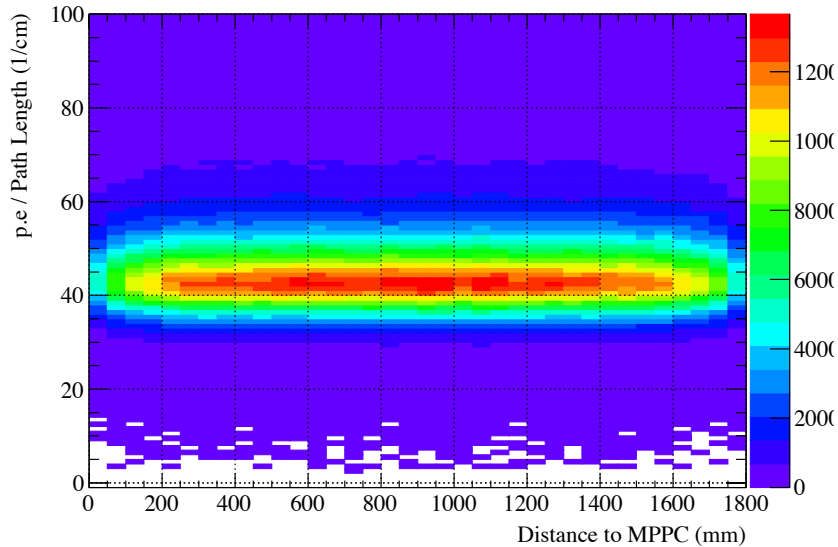


- Dimension: 1800 x 600 x 1300 mm³
- Plastic scintillator cube size: 10 mm³

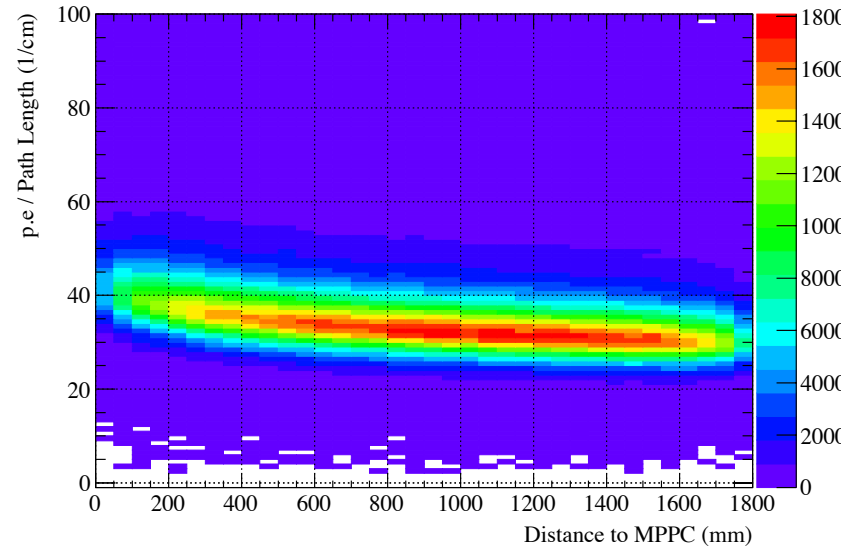


SuperFGD Target Validation: Fiber Attenuation

w/o Fiber Attenuation



w/ Fiber Attenuation



Fitting the fiber attenuation:

$$N(x) = p_0 \left(a e^{-\frac{x-d}{p_1}} + (1-a) e^{-\frac{x-d}{p_2}} \right)$$

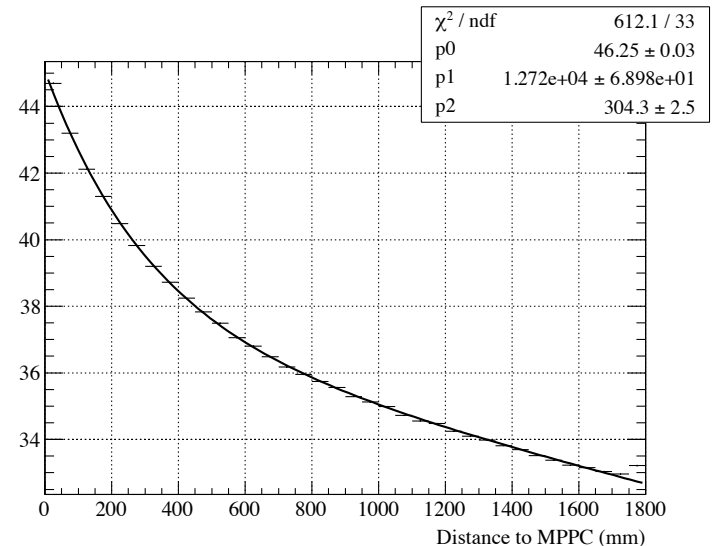
Fit range: p.e = (20, 80)

$d = 41$ mm, MPPC-scintillator distance

$p_1 = 11926$ mm, long attenuation length

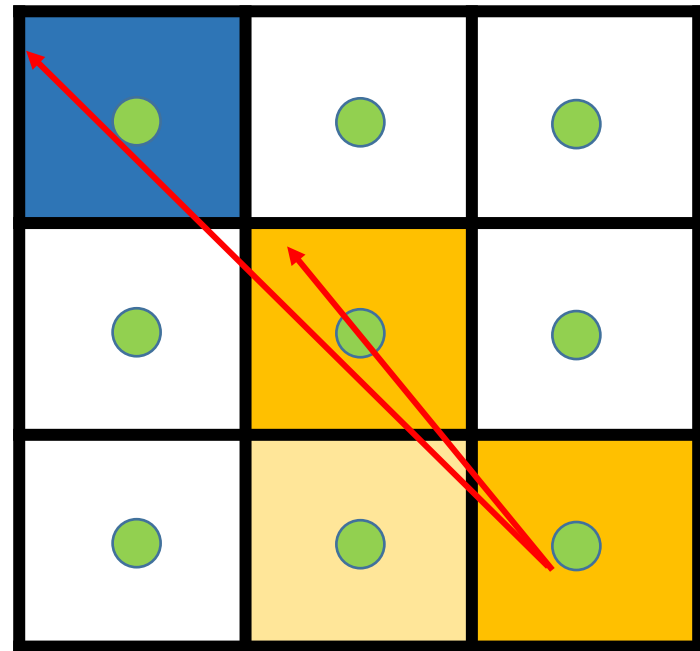
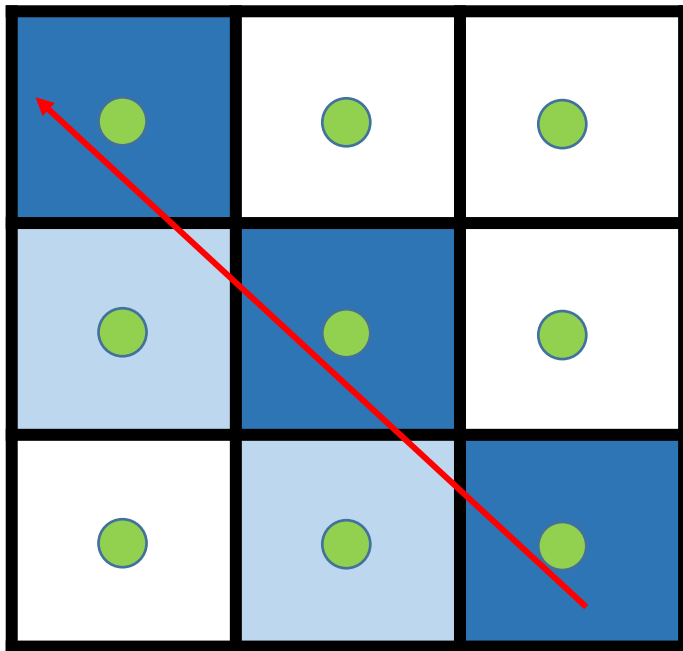
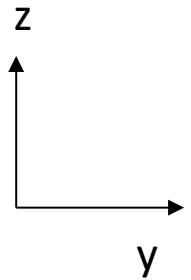
$p_2 = 312$ mm, short attenuation length

$a = 0.816$, long attenuation component fraction



e/ γ Separation in ND280 Upgrade Target

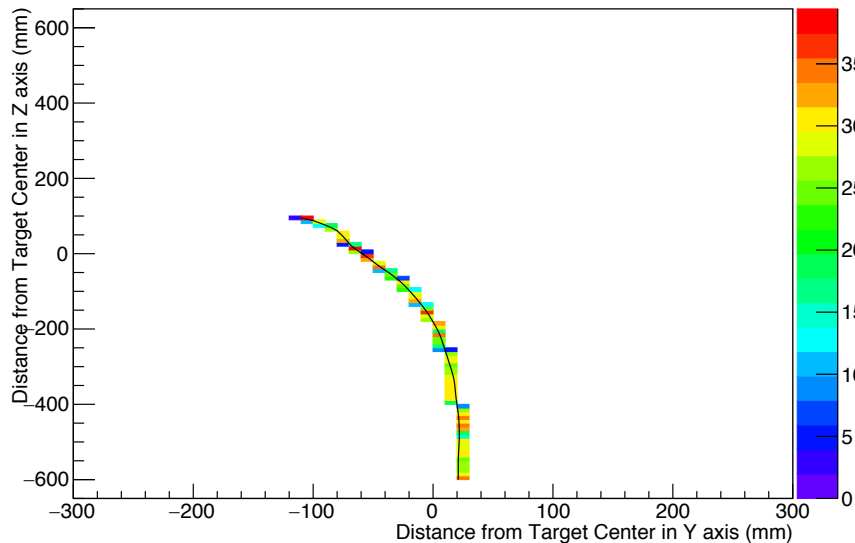
- Goal to distinguish e/ γ events that are single-track, electron-like, low momentum ($200 < p < 600$ MeV/c)
- Distinction between 1 (e^-) and 2 ($\gamma \rightarrow e^- e^+$) MIP events using the MPPC light yield from the tracks
 - Considering the light yield before and after the $e^- e^+$ tracks split into different scintillator segments



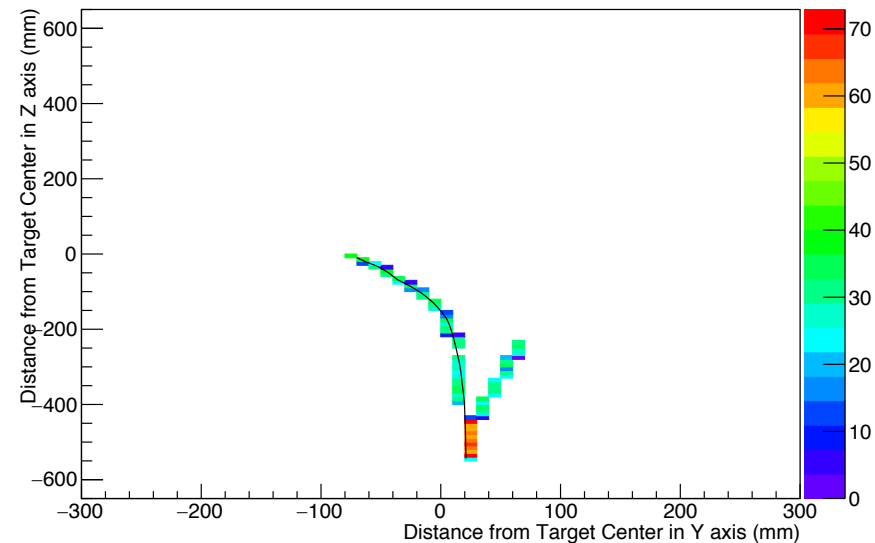
e/ γ Separation using Light Yield

- Preliminary algorithm to separate e/ γ events using the total light yield for each view (YZ, XZ, XY)
 1. Locates the single electron track and the starting point using truth information
 - “Perfect pattern recognition”
 2. Split the track into two segments where the ratio between the mean values of the total p.e. is the largest
 - Ignores the first and last MPPC hits to avoid short path length

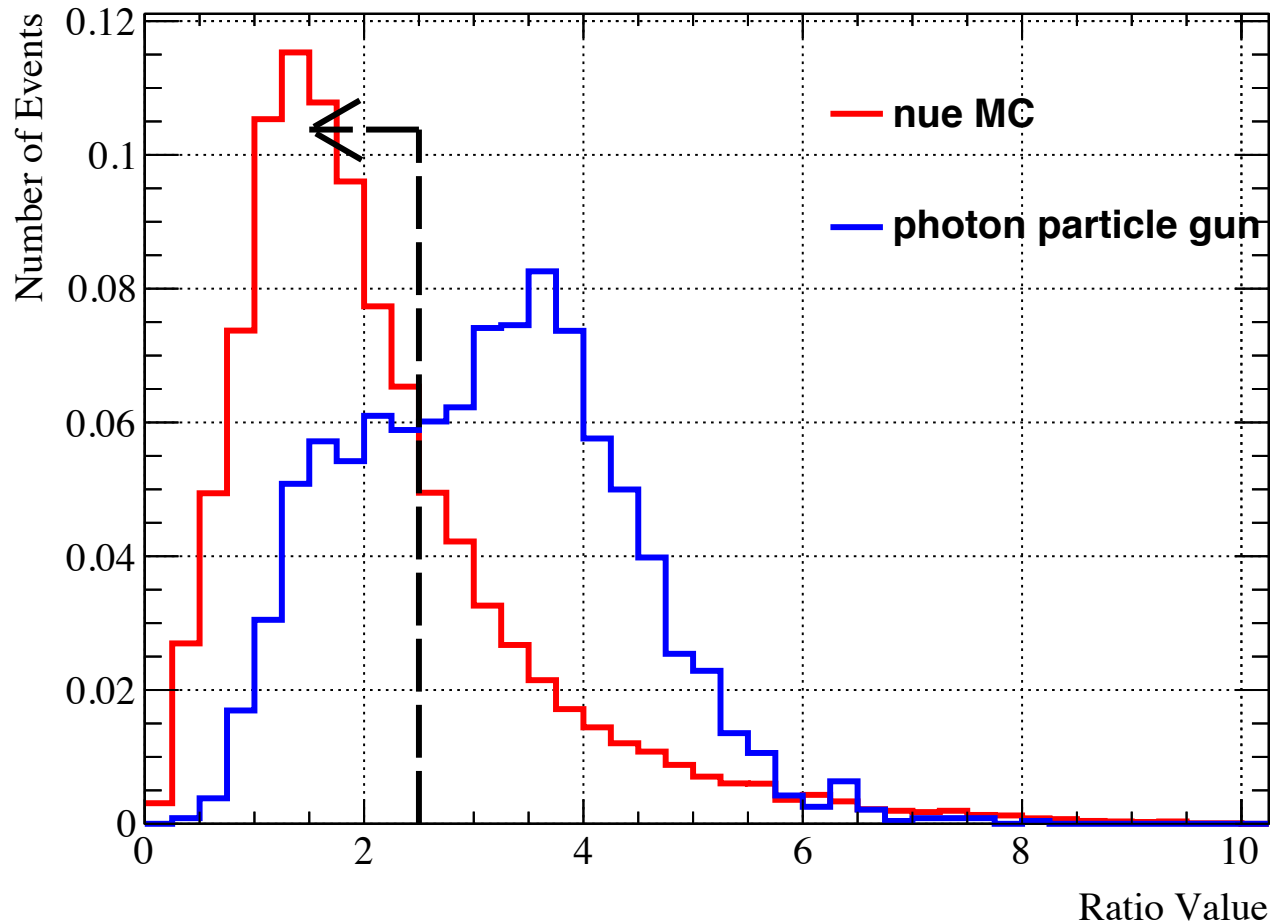
e Sample



γ Sample

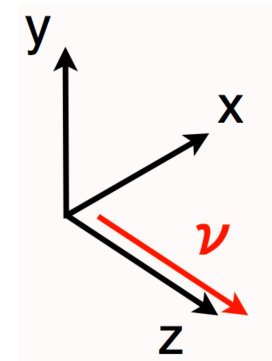
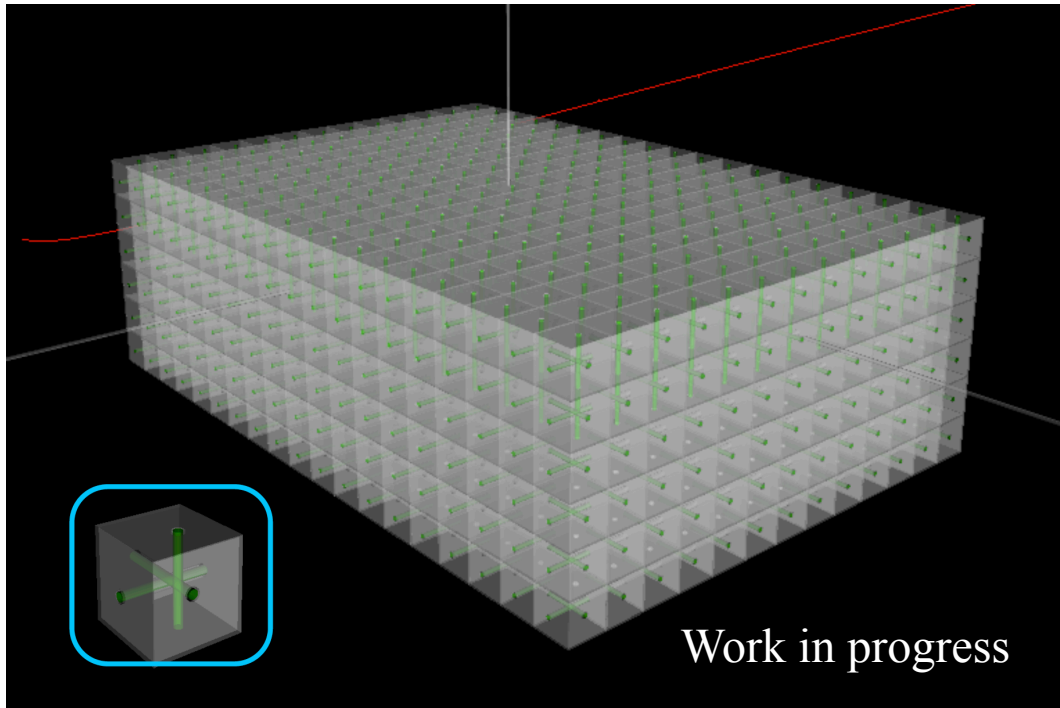


SuperFGD: ν_e MC and γ 4 π p-gun Comparison



77% efficiency to accept ν_e CC
39% to mis-ID γ p-gun sample
(19% if 2-trk-like count as rejected)

SuperFGD: Different Configurations



Parameter	Cube edge: 1 cm	Cube edge: 1.5 cm	Cube edge: 2 cm
# of cubes	2,160,000	638,400	270,000
# of channels	58,800	26,080	14,700
Total fiber length	65 km	29 km	16 km

ND280 Upgrade ν_μ Selection

Comparison of predicted event rate of selected events (1×10^{21} POT) between ND280 current and upgrade:

ν_μ CC

Selection	Current-like	Upgrade-like
ν_μ (ν beam)	93,401	194,654
$\bar{\nu}_\mu$ ($\bar{\nu}$ beam)	33,437	63,687
ν_μ ($\bar{\nu}$ beam)	17,998	33,773

		# of events (/ 10^{21} POT)	Purity (%)		
			CC0 π	CC1 π	CC Other
current	FGD 1	50012	72.8	65.4	68.9
	FGD 2	48119	73.2	64.3	70.2
upgrade	FGD1	48332	74.6	65.0	69.6
	FGD2	45636	73.5	64.1	70.2
	SuperFGD	100686	73.9	72.9	70.9

ND280 Upgrade Sensitivity

ND data fit tool adapted to ND280 Upgrade to evaluate how much the systematic uncertainties are reduced (8×10^{21} POT) :

Parameter	Current ND280 (%)	Upgrade ND280 (%)
SK flux normalisation ($0.6 < E_\nu < 0.7$ GeV)	3.1	2.4
MA _{QE} (GeV/c ²)	2.6	1.8
ν_μ 2p2h normalisation	9.5	5.9
2p2h shape on Carbon	15.6	9.4
MA _{RES} (GeV/c ²)	1.8	1.2
Final State Interaction (π absorption)	6.5	3.4

On average the systematic uncertainties are reduced by about 30%

Intrinsic ν_e Component in the Flux

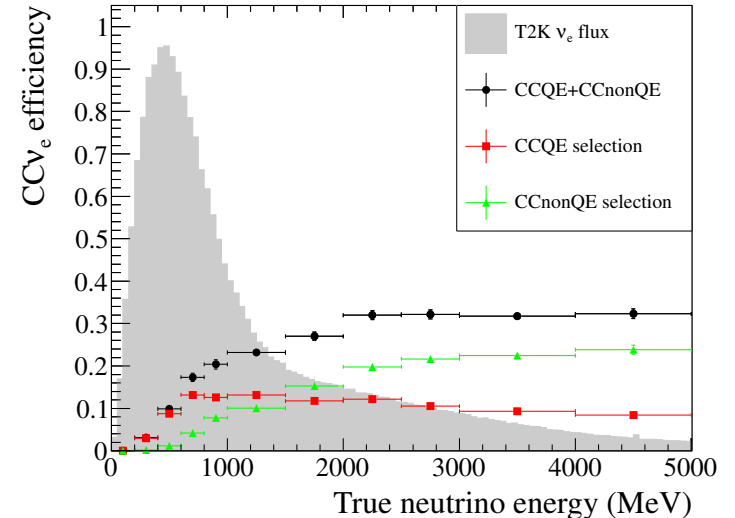
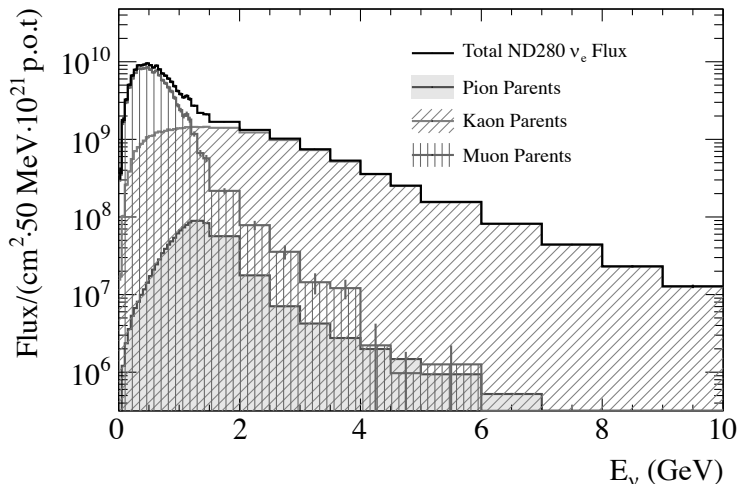
Phys. Rev. D. 89, 092003 (2014)

- Expected scaling factor obtained with $6.0e20$ POT:

$$\begin{aligned} R(\nu_e) &= 1.01 \pm 0.06(\text{stat}) \pm 0.06(\text{flux} \oplus x. \text{sec}) \\ &\quad \pm 0.05(\text{det} \oplus \text{FSI}) \\ &= 1.01 \pm 0.10, \end{aligned} \tag{4}$$

- $E_\nu < 1.2$ GeV dominated by muon decay:

$$\begin{aligned} R(\nu_e(\mu)) &= 0.68 \pm 0.24(\text{stat}) \pm 0.11(\text{flux} \oplus x. \text{sec}) \\ &\quad \pm 0.14(\text{det} \oplus \text{FSI}) \\ &= 0.68 \pm 0.30 \end{aligned} \tag{5}$$



CC ν_e Inclusive Cross Section on Carbon

Phys. Rev. Lett. 113, 241803

- Total flux averaged cross section obtained with 6.0×10^{20} POT:

$$\langle \sigma \rangle_\phi = 1.11 \pm 0.10(\text{stat}) \pm 0.18(\text{syst}) \times 10^{-38} \text{ cm}^2/\text{nucleon}$$

- Dominant components of systematic uncertainties:

- Flux (13%)
- Detector (8%)
- Others (6%)

